

# 大模型架构创新与底层细节

Networked Intelligence for Comprehensive Efficiency (NICE) Lab  
College of Information Science and Electronic Engineering  
Zhejiang University  
<http://nice.rongpeng.info/>



Aug. 12, 2025

# 目录

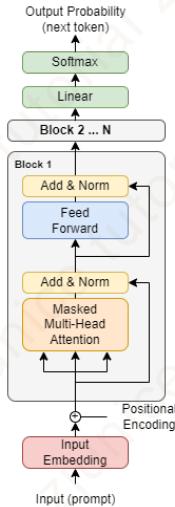


- 1 研究背景与问题引入
- 2 KV-Cache 与注意力压缩
  - MLA (DeepSeek V3)
  - GQA (LLaMA 4)
  - SWA (Gemma 3/3n)
- 3 稀疏激活与专家路由 (MoE)
  - MoE 基本原理
  - LLaMA 4: 专家数与交替分布
  - Qwen3: 无共享的 MoE
- 4 参数组织与任务分流
  - 高深度窄宽度 (Qwen3 Dense)
  - PLE (Gemma 3n)
- 5 归一化与优化器
  - 混合归一化 (Gemma 3)
  - Muon 优化器 (Kimi 2)
- 6 位置编码的演进
- 7 架构总结与趋势展望

## 研究背景与问题引入



# Decoder-only Transformer：结构与训练/推理



■ 块结构：对  $X \in \mathbb{R}^{L \times d}$  逐层执行

$$Q = XW_Q, \quad K = XW_K, \quad V = XW_V,$$

$$A = \text{softmax}\left(\frac{QK^\top}{\sqrt{d_k}} + M_{\text{causal}}\right)V,$$

$$H = \text{RMSNorm}(X+A), \quad Y = \text{RMSNorm}(H+\text{FFN}(H)).$$

仅自注意力并施加因果掩码  $M_{\text{causal}}$ ，保持自回归。

■ 训练目标：自回归似然  $\mathcal{L} = -\sum_{t=1}^L \log p(x_t | x_{<t})$ ，其中

$$p(x_t | x_{<t}) = \text{softmax}(W_o h_t); \quad \text{梯度只来自历史上下文。}$$



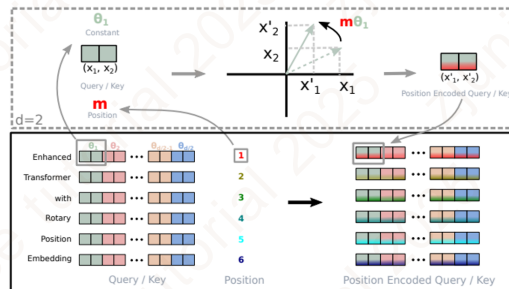
## RoPE (旋转位置编码)

- 把  $q, k$  的相邻维度成对视作 2D 向量，按位置  $t$  旋转角度  $t\theta_i$ （每对维度有自己的频率  $\theta_i$ ）。
- 关键公式（旋转与相对性）：

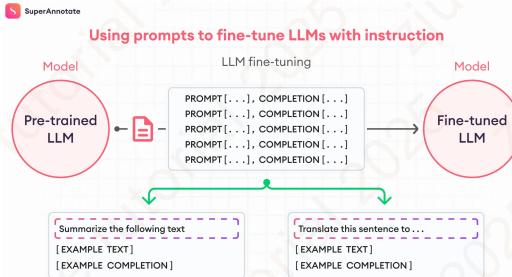
$$\text{Rot}_t \begin{bmatrix} x_{2i} \\ x_{2i+1} \end{bmatrix} = \begin{bmatrix} \cos(t\theta_i) & -\sin(t\theta_i) \\ \sin(t\theta_i) & \cos(t\theta_i) \end{bmatrix} \begin{bmatrix} x_{2i} \\ x_{2i+1} \end{bmatrix}, \quad \theta_i = b^{-2i/d_k}$$

$$\langle \text{Rot}_t(q), \text{Rot}_s(k) \rangle = \langle q, \text{Rot}_{t-s}(k) \rangle$$

- 在不改注意力公式、几乎不增参数/算子的前提下，让打分只依赖相对位置差 ( $t-s$ )。



# 监督微调 (SFT)



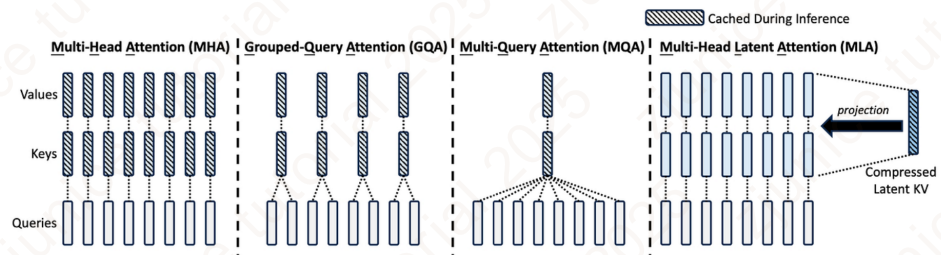
- 在已预训练的 LLM 上，用成对的 指令/上下文 → 目标回答样本做教师强制训练，让模型学会**遵循指令与格式**。
- 全参微调（效果强、资源高）或 LoRA/QLoRA（便宜、易部署）；LoRA 需选择注入模块（Q/K/V/O/FFN 等）与合适 rank。
- 快速**注入任务知识/格式/风格**、打基础；若要**偏好对齐/安全边界**，在 SFT 之后再加 DPO/RLHF 等。
- **常见坑：**数据重复与评测污染、模板过拟合、长度分布极端、只覆盖“简单样本”导致上线后脆弱。

# KV-Cache 与注意力压缩



## DeepSeek V3：多头潜变量注意力 (MLA)

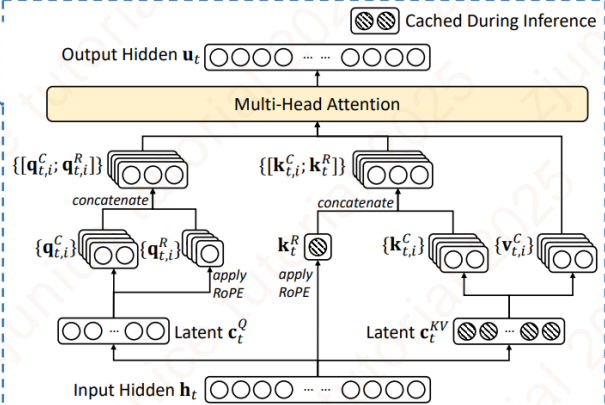
- **动机：**长上下文时，KV 缓存占用极大显存；MLA 将  $K, V$  压缩进低维潜空间缓存，减小显存占用。
- **做法：**编码时  $z_K, z_V = f_{\downarrow}(K, V)$  并缓存；解码时  $K', V' = f_{\uparrow}(z_K, z_V)$  再与原  $Q$  做注意力（接口不变）。
- **收益/成本：**显著降低缓存显存与，**对超长序列尤明显**；但需额外投影/还原算子与校准训练，工程门槛高于 GQA。



# MLA 原理与计算流程



## Multi-Head Latent Attention (MLA)



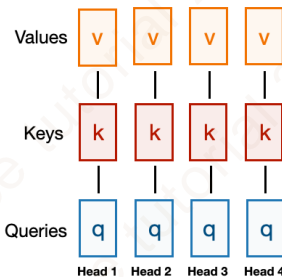
- **编码阶段:**  $z_K, z_V = f_\downarrow(K, V)$ ; 仅缓存  $z_*$ , 不缓存原始  $K, V$ 。
- **解码阶段:**  $K', V' = f_\uparrow(z_K, z_V)$  与  $Q$  计算注意力; **不改**注意力算子接口, 便于嵌入现有推理栈。
- **关键超参:** 潜空间维度  $r$ 、上下投影是否共享、是否跨层复用;  $r$  太小会伤远程依赖, 过大则**内存收益变小**。



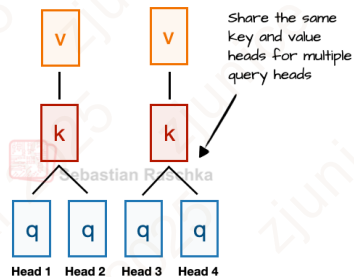
# Llama 4 GQA 架构创新与选型原因

- **机制**: 将  $H$  个头按  $G$  组共享  $K/V$ ; KV 缓存规模近似降为原来的  $H/G$ 。
- **取舍**: 几乎零侵入 (沿用标准注意力内核), 训练/推理链路兼容; 但跨头差异被弱化, 少量任务可能有轻微精度损失。
- **工程侧**: 对分块 KV、流式解码、张量并行天然友好, 大批量与短上下文也能稳定获益。

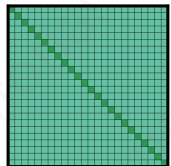
**Multi-head Attention (MHA)**



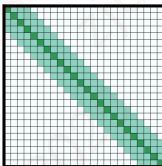
**Grouped-query Attention (GQA)**



# Gemma 3/3n：滑动窗口注意力机制 (SWA)

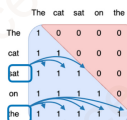


(a) Full  $n^2$  attention



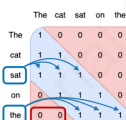
(b) Sliding window attention

Regular causal self-attention mask



Using a causal attention mask, the current token can only attend previous tokens (+ itself)

Sliding window attention



Not attended to save computation

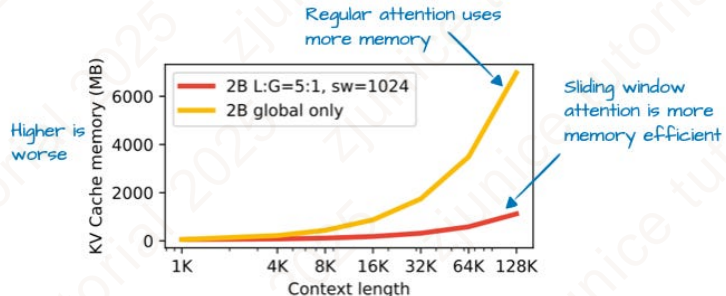
Using a causal attention mask, the current token can only attend previous tokens within a certain limit

- **复杂度**: 将感受野限制为窗口  $W$ , 单层计算/缓存从  $O(L^2)$  降到  $O(L \cdot W)$ , 长序列吞吐线性增益。

- **表达力补偿**: 仅局部会损失远程依赖; 采用“**滑窗层: 全局层 =5:1**”, 用稀疏全局层周期性聚合长距信息。

- **关键值**: 窗口  $W$ 、全局层周期  $k$ 、跨层错位/膨胀窗口等, 可缓解边界效应与信息截断。

# Gemma 3/3n：滑动窗口注意力 (SWA) 的实现



- **KV 缓存优化**: 显存占用下降 80-90%，推理门槛极大降低
- **推理速度提升**: 长文本吞吐量提升 3-5 倍，支持大批量和端侧部署
- **精度损失极低**: 绝大多数任务与全局注意力持平
- **端侧适配**: Gemma 3n 结合滑窗与参数切片，低功耗设备可跑超大模型

# 总结：KV-Cache 与注意力压缩



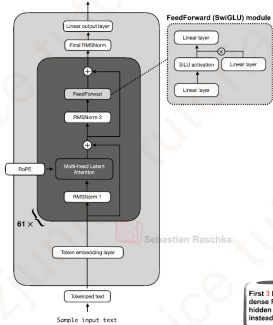
模型	机制	上线/开源时间	KV 缓存占用	上下文/吞吐	工程复杂度
DeepSeek V3	MLA	2024-12-27	低 (降维缓存)	长/高	较高
LLaMA 4	GQA	2025-04-05	中 (KV 共享)	中长/高	低
Gemma 3	SWA	2025-03-12	低 (滑窗)	很长/高	低 中

# 稀疏激活与专家路由 (MoE)

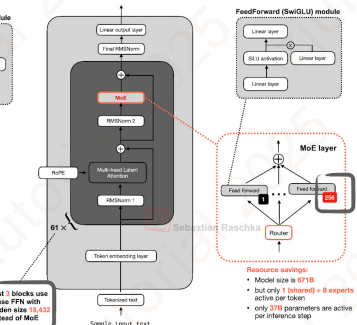


# MoE 基本原理与优势

Architecture without MoE (“dense”)



DeepSeek V3/R1 with MoE (“sparse”)



■ **核心思想**: 每层包含多位 FFN 专家，仅激活少数专家处理当前 token，计算与显存按激活比例缩放。

■ **路由方式**: 门控  $g(x)$

(Top- $k$ /Switch/Hash 等) 根据表示选择专家；常见损失含**负载均衡与熵约束**，避免“热门专家”拥塞。

■ **关键超参**: 专家数  $E$ 、激活数  $k$ 、容量系数 (Capacity Factor)、是否**共享专家**；这些决定能力—吞吐—稳定性三者平衡。

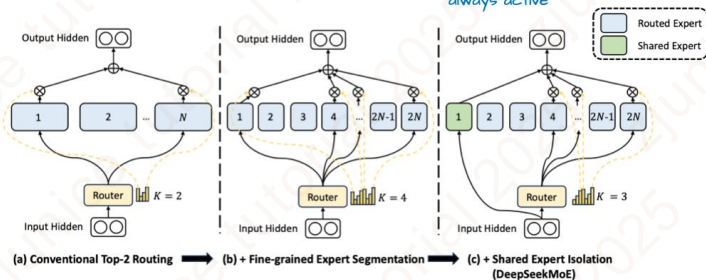


# DeepSeek MoE 架构设计

Early MoE: Has bigger and fewer experts, and activates only a few experts (here: 2)

Fine-grained MoE uses more but smaller experts, and activates more experts (here: 4)

MoE with shared expert: also uses many small experts, but adds a shared expert that is always active



- **专家编制**: 每层 256 路由专家 + 1 个共享专家；推理时共享专家常驻，提升基础能力与鲁棒性。
- **以小换多 (Small-Experts)**: 将单专家 MLP/FFN 宽度  $d_{ff}^{(e)}$  明显小于稠密基线  $d_{ff}$ ，从而降低单专家显存与算子尺寸；
- **多专家高覆盖 (E↑)**: 每层配置  $E=256$  (+ 共享)，以“更多数量 × 更小体积”替代“少而大”，提升语义覆盖与专家专化度

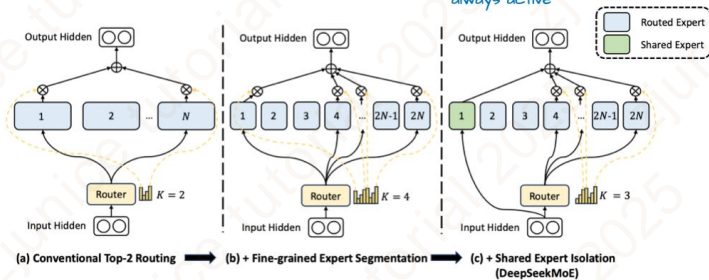


# DeepSeek：训练与推理策略

Early MoE: Has bigger and fewer experts, and activates only a few experts (here: 2)

Fine-grained MoE uses more but smaller experts, and activates more experts (here: 4)

MoE with shared expert: also uses many small experts, but adds a shared expert that is always active



■ **冷启动**: 先用较大  $\tau$  (高温) 与较小  $k$  训练，使负载更均匀，再逐步降温/增  $k$  提升分工。

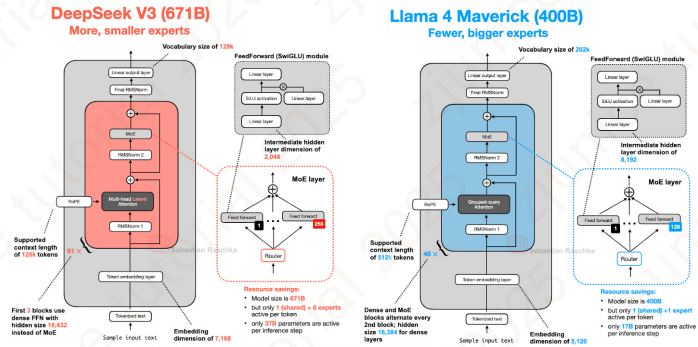
■ **容量计划**: warmup 阶段  $\text{cap\_factor} \uparrow$  防丢弃；稳定后逐步调回目标值，平衡吞吐与质量。

■ **推理调度**: 批内重排（把路由到同专家的 token 聚簇）+ **节点优先**分配；与分页/块化 KV 协同。

## Llama 4 与 DeepSeek V3：MoE 架构对比



- **层级布局**: DeepSeek 近似“层层 MoE”; Llama 4 采用**交替 Dense/MoE**。
  - **激活数**: DeepSeek  $k=8$  (+ 共享); Llama 4  $k=2$  (+ 共享), **通信与调度更轻, 延迟更稳**。
  - **结果**: 相同吞吐预算下, 交替布局能**更稳定上线**。

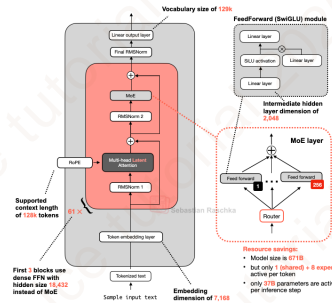


# Qwen3 MoE 架构创新

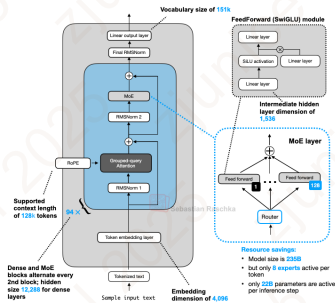


- 无共享专家：**强调专家完全分工与专业化，减少共享路径对路由学习的“短路”影响。
- 专家与激活：**每层设置固定数量专家？。
- 均衡目标：**使用全局批次负载均衡损失，结合容量回退避免 token 丢弃，提高有效样本利用率。

DeepSeek V3 (671B)



Qwen3 235B-A22B



# 总结：稀疏激活与专家路由（MoE）



模型	专家组织	激活专家	共享专家	路由/均衡	上线时间
DeepSeek V3	256+1 共享	8+1	有	负载均衡优化	2024-12-27
LLaMA 4	16+1 共享	2+1	有	交替分布	2025-04-05
Qwen3	128	8	无	低成本路由	2025-04-29

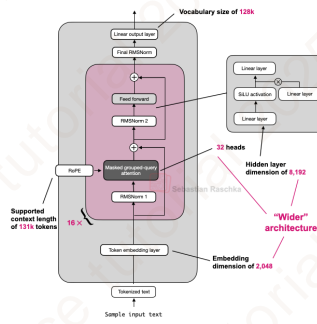
# 参数组织与任务分流

# Qwen3 Dense 架构创新



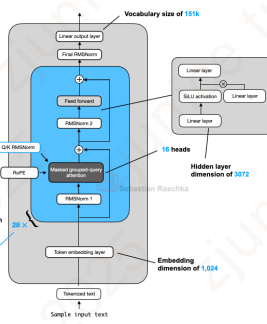
- **FLOPs 粗算**: 单层注意力/FFN 主项  $\propto d^2$ ; 在预算固定时, **加深 (增层数 L)** 比**加宽 (增 d)**更划算。
- **稳定训练**: 残差缩放  $1/\sqrt{L}$ 、分层学习率、增大归一化权重, 避免深层梯度退化。
- **迁移**: 深层结构对蒸馏/量化更稳, 端侧显存更可控。

**Llama 3.2 1B**



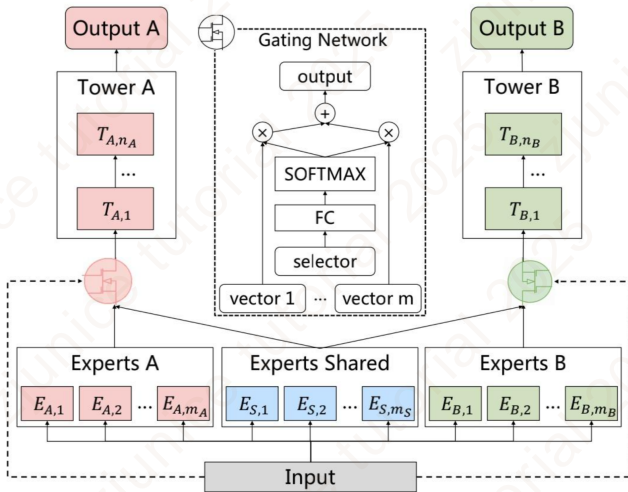
	Tokens/sec	Memory
Llama3Model 1B	42	2.91 GB

**Qwen3 0.6B**



	Tokens/sec	Memory
Qwen3Model 0.6B	24	1.49 GB

# Gemma 3n: PLE 让 LLM 落地边缘设备



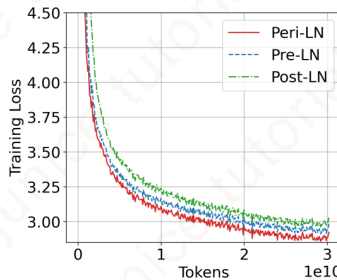
- **结构:** Shared Layers → **Coarse Branch** → Task Experts (无 All-to-All)，梯度全额回传。
- **为何胜过 MoE (端侧):** 无跨分片通信，延迟可预测；参数可按分支裁剪，显存/功耗友好。
- **任务分流:** 粗分支先聚类语义，后期专家按任务域细化 (如 ASR/NLU/翻译等)，避免过早专业化。
- **落地经验:** 端侧建议少量分支 + 小专家，配合分支感知蒸馏/量化；云端可在此基础上蒸馏到 **Dense/MoE**。

# 归一化与优化器

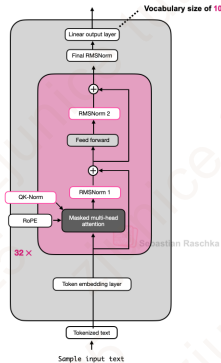


# Gemma 3 的混合归一化机制

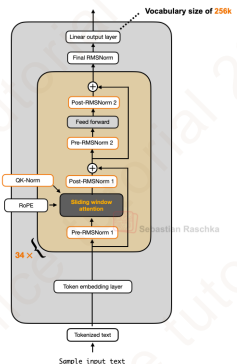
- Pre-Norm 稳定但信号幅度易漂移；Post-Norm 可抑制激活爆炸但深层可能梯度变弱。
- 在 Attention/FFN 的前后均加 RMSNorm，前稳梯度、后稳幅度，降低深层训练抖动。
- 效果：长深度训练更稳，对指令跟随与多任务迁移更鲁棒。



OLMo 2 7B



Gemma 3 4B



# AdamW 与 Muon 优化器原理与区别



AdamW 优化器更新公式：

$$m_t = \beta_1 m_{t-1} + (1 - \beta_1) g_t$$

$$v_t = \beta_2 v_{t-1} + (1 - \beta_2) g_t^2$$

$$\hat{m}_t = \frac{m_t}{1 - \beta_1^t}, \quad \hat{v}_t = \frac{v_t}{1 - \beta_2^t}$$

$$\theta_{t+1}^{(i)} = \theta_t^{(i)} - \eta \cdot \frac{m_t^{(i)}}{\sqrt{v_t^{(i)}} + \epsilon}$$

Muon 优化器更新公式：

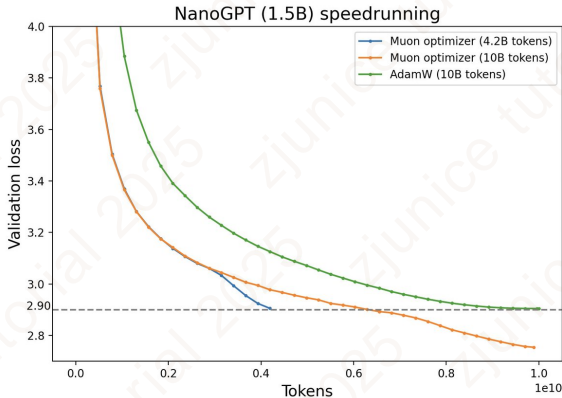
$$\|m_t\| = \sqrt{\sum_{i=1}^n (m_t^{(i)})^2}$$

$$\theta_t = \theta_{t-1} - \eta \cdot \frac{m_t}{\|m_t\| + \epsilon}$$

其中  $g_t$  为梯度， $\theta_t$  为当前参数， $\eta$  为学习率。

- **AdamW**：逐参数自适应优化，稳定但尺度感知差，容易震荡
- **Muon**：在梯度更新时对权重使用 L2 范数进行归一化，使参数更新方向一致，防止不同层尺度失衡
- 梯度更新从“标量维度”提升为“向量级别”归一
- 更适用于深层/宽层大模型，收敛快、更鲁棒
- Kimi 2 提升稳定性核心关键之一

## Kimi 2: Muon 优化器应用表现与优势

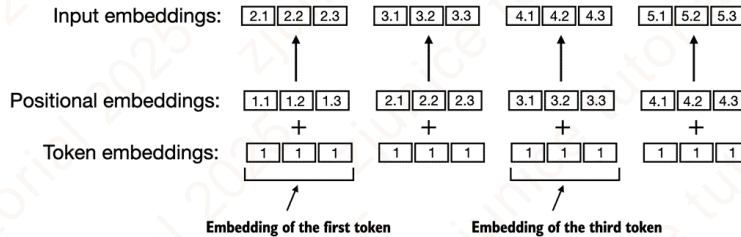


- 同样训练 Token 下，Muon 优化器 Loss 下降更快
- 更少的训练步骤获得更低的验证 Loss，节省算力和训练时长
- 更快收敛 = 更短训练时间，更适合大规模 LLM 快速迭代

# 位置编码的演进



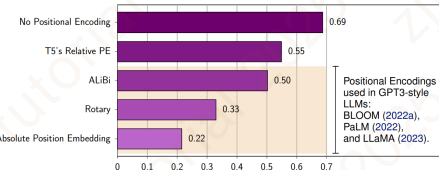
## SmolLM NoPE: 背景与基本原理



- **理念**: 完全移除显式位置编码；仅用**因果 Mask**保序，模型从数据中**隐式学习顺序线索**。
- **优势**: 无“外推失真”(不依赖 RoPE 频率外推)，**长序列泛化更稳**；参数/实现更简单。
- **边界**: 对**强顺序/算子化**任务（代码/数学）可能吃亏；可在**高层混入少量相对编码**作折中。



# SmolLM NoPE 的优势与实验效果



Context Length	Model Variants	begin	needle	context	qc
8k	RoPE	0.3863	0.0328	0.3809	0.2000
	QK-Norm	0.0242	0.0173	0.8020	0.1565
	NoPE	0.3058	0.0454	0.4501	0.1987
32k	RoPE	0.3541	0.0201	0.4343	0.1915
	QK-Norm	0.0064	0.0056	0.8517	0.1364
	NoPE	0.2807	0.0325	0.4981	0.1886
128k	RoPE	0.3463	0.0010	0.4751	0.1776
	QK-Norm	0.0010	0.0004	0.8993	0.0994
	NoPE	0.0846	0.0073	0.8156	0.0925

- text 泛化能力突出：NoPE 对长序列任务具有极强泛化优势
- text 小模型表现优异：对小/中等规模模型，能提升极长文本检索任务表现
- text 任务依赖性：主流任务如 MMLU、CommonsenseQA 等，NoPE 与 RoPE 表现接近
- text 训练简单，参数少：结构极简，无需位置参数，减少显式超参调优

Model	Val Loss	MMLU	HellaSwag	CommonsenseQA	ARC-E	ARC-C	Needles 65k
RoPE	1.52	48.55	73.74	68.30	81.05	39.13	9.82
QK-Norm	1.53	48.21	73.68	68.23	80.54	38.98	7.93
NoPE	1.58	47.61	72.16	66.42	76.94	37.12	9.03

# 架构总结与趋势展望



# 架构总结与趋势展望

## ■ MoE 架构仍是核心突破口

- 参数利用率低 → 稀疏激活 + 共享专家成为共识
- DeepSeek 和 LLaMA4 展现出不同的专家组织策略，分别追求更强能力 vs 更优吞吐比
- 路由机制仍存在不稳定与负载不均问题，是未来研究重点

## ■ KV Cache 优化成为 Attention 核心议题

- MLA 与 GQA 分别强调压缩效率与工程兼容
- 推理与上下文长度提升驱动结构创新
- MLA 提升压缩效率但部署复杂，GQA 兼容性更强

## ■ 归一化与优化器设计有广阔空间

- RMS 混合归一化增强训练稳定性
- Muon 优化器展现更强收敛与尺度适应

## ■ 端侧优化推动结构精简与任务分流

- NoPE、PLE 等技术降低部署门槛
- “轻量模型 + 高性能”逐渐成为焦点

# Thank you

Networked Intelligence for Comprehensive Efficiency (NICE) Lab  
College of Information Science and Electronic Engineering

Zhejiang University  
<https://nice.rongpeng.info>